

4. PROIECTAREA SISTEMULUI DE TRANSMITERE ȘURUB-PIULIȚĂ CU BILE (STSPB)

Transmisia cu șurub de mișcare face parte din categoria transmisiilor mecanice care transformă mișcarea de rotație în mișcare de translație sau invers.

4.1. Principiul constructiv-funcțional și elementele STSPB

Din punct de vedere *constructiv* (după natura frecării dintre elemente) se utilizează două categorii de *sisteme de transmitere șurub-piuliță*:

- cu frecare de alunecare între spire,
- *cu corpuri de rostogolire* (bile, role).

Funcțional, transmisiile cu șurub de mișcare pot avea ca element conducător *șurubul* sau *piulița*, *cu mișcare de rotație* sau *translație*, iar ca element condus *piulița*, respectiv *șurubul*, *cu mișcare de translație*, respectiv *rotație*, obținând variantele reprezentate schematic în figura 4.1.

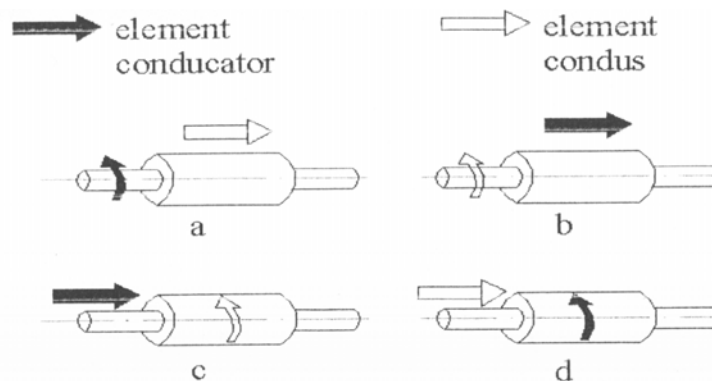


Fig. 4.1 Variante funcționale pentru transmisiile șurub-piuliță

Sistemul de transmitere șurub-piuliță cu bile este un ansamblu de transfer al forței și mișcării ce aparține familiei transmisiilor de putere cu șurub de mișcare.

Caracteristica principală constructivă a șuruburilor cu bile constă în obținerea unei mișcări de rostogolire liberă a bilelor în canalele elicoidale, executate atât pe suprafața șurubului cât și la interiorul piuliței, care înlocuiesc profilul filetului. Forma constructivă a șurubului cu bile trebuie să aibă în vedere funcționarea în circuit închis, adică readucerea bilelor în zona de lucru printr-un canal de recirculare.

Elementele constructive ale unui sistem de transmitere șurub-piuliță cu bile sunt reprezentate în figura 4.2, în care:

- 1 – șurub,
- 2 – bile,
- 3 – piulița,
- 4 – canal de recirculare,
- 5 – sistem de etanșare.

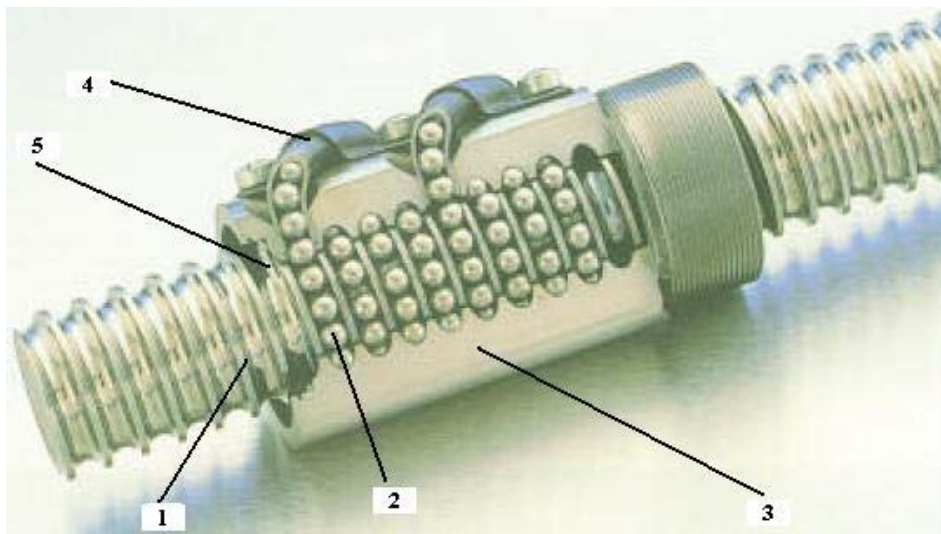


Fig. 4.2 Elementele componente ale transmisiei șurub-piuliță cu bile

Șuruburile cu bile au o largă aplicare în construcția de mașini-unelte, autocamioane și tractoare, mecanică fină, industria de avioane, reactoare nucleare, etc.

4.2. Date de proiectare pentru sistemul de transmitere șurub-piuliță cu bile

Pentru realizarea dimensionării și verificării sistemului de transmitere a mișcării de rotație și transformare în mișcare de translație sunt necesare următoarele *date inițiale de proiectare*:

- lungimea cursei piuliței $l_c =$ [mm];
- pasul filetului $p =$ [mm];
- sarcina axială de transmis $F =$ [N];
- turația șurubului $n_{SB} =$ [rot/min];
- modul de rezemare a șurubului rezemare la capete
(impus prin temă);
- durabilitatea cuplei șurub-piuliță $D_h =$ [ore];
- raportul între lungime și diametru $K = \frac{l}{d}$ (impus).

Suplimentar acestor mărimi inițiale se utilizează următoarele *elemente adoptate* pentru realizarea transmisiei șurub-piuliță cu bile:

– *tipul constructiv*: rezultă din schema constructivă a transmisiei mecanice: *șurub conducător de rotație, piuliță de translație*;

– *materialele* pentru șurubul și piulița cu bile se aleg în funcție de diverși parametri care caracterizează funcționarea transmisiei, cum sunt:

a) capacitatea portantă:

$$T_{SB} = \frac{P_{SB}}{\omega_{SB}} \times 10^6 \quad [\text{N mm}] \quad (4.1)$$

unde: P_{SB} – puterea transmisă de șurub calculată cu relația:

$$P_{SB} = P \cdot \eta_{STCD} \cdot \eta_{SRR} \quad [\text{kW}] \quad (4.2)$$

ω_{SB} – viteza unghiulară a șurubului cu bile, stabilită în funcție de turația acestuia prin:

$$\omega_{SB} = \frac{\pi \cdot n_{SB}}{30} \quad [\text{rad/s}] \quad (4.3)$$

în care: n_{SB} a fost calculat în tabelul 1.1 de la alegerea acționării sistemului mecanic.

b) durabilitatea cuplei elicoidale:

$$L_h = \frac{60 \cdot n_{SB} \cdot D_h}{10^6} \quad [\text{milioane rotații}] \quad (4.4)$$

c) precizia de funcționare: se alege o funcționare cu *precizie medie*.

Pentru elementul constructiv principal, **șurubul** sistemelor de transmitere obișnuite, fără condiții de precizie deosebite, când duritatea suprafețelor în contact poate fi sub 60 HRC, se utilizează ca materiale *oțelurile laminate calitate: OLC 55, OLC 60*, cu compoziție chimică constantă, cu tratament termic de călire prin curenți de înaltă frecvență (CIF).

Piulița și bilele se execută din *oțeluri de rulmenți RUL 1* sau **RUL2**, cu duritate de 61-63 HRC. La transmisiile șurub-piuliță cu bile la care se impun cerințe speciale de reducere a zgomotului aceste elemente constructive se pot confecționa din materiale plastice: poliformaldehidice (delrin), politetrafluoretilena (teflon), etc.

4.3. Parametrii geometrici ai cuplei șurub-piuliță cu bile

Forma profilului curbiliniu pentru căile de rulare ale suprafeței exterioare a șurubului și suprafeței interioare a piuliței este reprezentată în figura A 3.1 din **ANEXA 3**.

Dimensiunile care definesc profilul sunt tipizate prin norme stabilite de firmele constructoare. În tabelul A3.1 din **Anexa 3** sunt indicate dimensiunile profilului curbiliniu, în care:

d_0 – diametrul de dispunere a corpurilor de rulare,

p – pasul filetului,

r – raza bilei,

R – raza căilor de rulare,

r_3, r_4 – raze de racordare,

Proiectarea sistemului de transmitere șurub-piuliță cu bile

d_S – diametrul punctului de contact cu șurubul,

d_2 – diametrul exterior al șurubului,

d_P – diametrul punctului de contact cu piulița,

D_1 – diametrul interior al piuliței.

Unghiul de contact θ este definit între direcția normalei comune în punctele de contact corp de rostogolire-căi de rulare și perpendiculara pe axa de simetrie a cuplei elicoidale ce trece prin centrul bilei.

Calculul parametrilor geometrici pornește de la stabilirea diametrului minim al șurubului cu bile d_1 din *condiția de rezistență*:

➤ la **flambaj** – pentru șuruburile lungi;

➤ la compresiune – la șuruburile scurte.

Observație:

Pentru asigurarea unei tehnologii corespunzătoare de execuție (șuruburile de mișcare cu profilul filetului rectificat) este necesară respectarea raportului:

$$15 \leq \frac{l}{d} \leq 25 \quad \text{– în construcția generală de mașini;}$$

$$\frac{l}{d} \leq 15 \quad \text{– în mecanica fină.}$$

Se notează raportul între lungime și diametru:

$$\frac{l}{d} = K \tag{4.5}$$

și se alege în funcție de domeniile de utilizare specificate anterior.

Se consideră *forța critică de flambaj* pentru domeniul elastic determinată cu relația lui Euler:

$$F_{cf} = \frac{\pi^2 \cdot E \cdot I_{\min}}{l_f^2} \tag{4.6}$$

în care: E – modulul de elasticitate longitudinal al materialului șurubului (pentru oțel $E = 2,1 \cdot 10^5$ MPa);

I_{\min} – momentul de inerție minim al secțiunii transversale a șurubului cu diametrul d calculat cu relația:

$$I_{\min} = \frac{\pi \cdot d^4}{64} \quad (4.7)$$

l_f – lungimea de flambaj, care depinde de modul de rezemare a șurubului schematizat în figura 4.3. Cazul rezultat din schema cinematică a temei de proiectare (rezemare la capete) este caracterizat de $l_f = l$.

Tipul de montaj	l_f
	2 l
	l
	0,7 l
	0,5 l

Fig. 4.3 Cazuri de rezemare a șurubului cu bile

Dacă se definește *coeficientul de siguranță la flambaj*:

$$c_f = \frac{F_{cf}}{F} \geq c_{af} \quad (4.8)$$

și se impune coeficientul admisibil de flambaj pentru transmisiile șurub-piuliță dispuse orizontal $c_{af} = 3,5 \dots 4$, prin înlocuirea relațiilor (4.6) și (4.7) funcție de l_f și d , rezultă expresia de calcul pentru *diametrul minim al șurubului de mișcare* folosind raportul dat de relația (4.5):

$$d \geq \sqrt{\frac{64 \cdot c_{af} \cdot K^2 \cdot F}{\pi^3 \cdot E}} \quad (4.9)$$

Valoarea calculată se rotunjește la o valoare superioară standardizată pentru diametrul interior al filetului d_S (tabelul A3.1 din

ANEXA 3), după care se verifică corectitudinea alegerii diametrului asamblării d_0 stabilit la acționarea sistemului mecanic.

Geometria căilor de rulare se alege din *ANEXA 3* (tabelul A3.1) în funcție de d_0 (diametrul de dispunere a bilelor).

Stabilirea numărului de bile – se face din condiția de rezistență la solicitarea de contact a corpurilor de rostogolire cu suprafețele de rulare ale șurubului și piuliței (figura 4.4) impunând inegalitatea:

$$\sigma_H = \sigma^* \left[F_n \cdot (E' \cdot \sum \rho)^2 \right]^{\frac{1}{3}} \leq \sigma_{aH} \quad (4.10)$$

unde: σ_H – tensiunea hertziană pe elipsa de contact;

F_n – sarcina normală în punctul de contact;

E' – modulul de elasticitate redus dat de relația:

$$\frac{2}{E'} = \frac{1-\nu_1^2}{E_1} + \frac{1-\nu_2^2}{E_2} \quad (4.11)$$

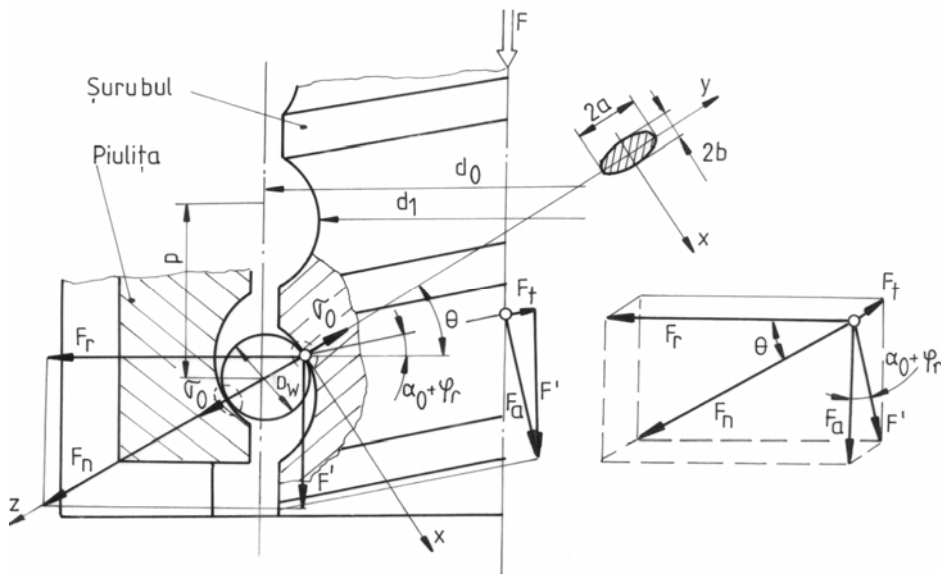


Fig. 4.4 Solicitarea de contact bilă–căi de rulare

Calculul și construcția sistemelor mecatronice – Îndrumar de proiectare

în care modulele de elasticitate ale materialelor pentru bile și șurub (piuliță) sunt: $E_1 = E_2 = 2,1 \times 10^5$ MPa, iar coeficienții Poisson sunt: $\nu_1 = \nu_2 = 0,3$;

$\sum \rho$ – suma curburilor în punctul de contact se determină în funcție de geometria suprafețelor conjugate:

$$\sum \rho = \frac{1}{r} - \frac{1}{R} = \frac{R-r}{r \cdot R} \quad [\text{mm}^{-1}] \quad (4.12)$$

Înlocuind, din relația (4.10) rezultă:

$$F_n \leq \left(\frac{\sigma_{aH}}{\sigma^*} \right)^3 \cdot \frac{1}{(E' \cdot \sum \rho)^2} \quad [\text{N}] \quad (4.13)$$

Pentru calculul tensiunii de contact σ_H s-a utilizat notația:

$$\sigma^* = \left[1,32 - 3,49 \cdot \frac{(R-r)(r_0 - r \cdot \cos \theta)}{R \cdot r_0} \right]^2 \quad (4.14)$$

în care: $r_0 = \frac{d_0}{2}$ și $\theta = 45^\circ$.

Tensiunea admisibilă de contact între corpurile de rostogolire și canalele elicoidale se recomandă ca valoare: $\sigma_{aH} = 2500 \dots 3000$ MPa.

Componenta axială a forței rezultă din figura 4.4:

$$F_a = F_n \cdot \sin \theta \cdot \cos(\alpha_0 + \varphi_r) \quad (4.15)$$

unde: α_0 – unghiul de înfășurare a spirei filetului se calculează cu relația:

$$\alpha_0 = \text{arctg} \left(\frac{p}{\pi \cdot d_0} \right) \quad (4.16)$$

Proiectarea sistemului de transmitere șurub-piuliță cu bile

φ_r – unghiul de frecare de rostogolire între spirele filetului este dat de relația:

$$\varphi_r = \operatorname{arctg}\left(\frac{f}{r \cdot \sin \theta}\right) \quad (4.17)$$

cu: f – coeficientul de frecare între corpurile de rostogolire și căile de rulare; are valori între **0,008 ... 0,01**.

Numărul de bile de calcul rezultă din raportul forțelor:

$$z_c = \frac{F}{F_a} \quad (4.18)$$

din care se determină numărul de bile necesar transmiterii forței axiale între șurub și piuliță:

$$z = \frac{z_c}{\psi} \quad (4.19)$$

în care: ψ – coeficientul numărului de bile se adoptă (valorile recomandate **0,7 ... 0,9**).

Valoarea calculată z se rotunjește la o valoare superioară întreagă.

Numărul de spire active ale piuliței rezultă prin calcul:

$$z_p = z \cdot \frac{d_b}{\pi \cdot d_0} \cdot \cos \alpha_0 = z \cdot \frac{2 \cdot r}{\pi \cdot d_0} \cos \alpha_0 \quad (4.20)$$

și se rotunjește la un număr z_a în funcție de care se stabilește numărul minim de spire z_m standardizat, din tabelul 4.1.

Tabelul 4.1 Determinarea numărului minim de spire

Numărul de spire active, z_a	2,5	3,5	5,0	10,5
Numărul de spire minime, z_m	4,5	5,5	7,5	13,5

Înălțimea piuliței se calculează în funcție de numărul de spire minime z_m și de pasul profilului cu relația:

$$H_p = [z_m + (1 \dots 1,5)] \cdot p \quad (4.21)$$

4.4. Caracteristici funcționale ale cuplei elicoidale cu rostogolire

Pentru sistemul de transmitere șurub–piuliță cu bile se stabilesc următoarele *caracteristici funcționale*:

1) **Randamentul** pentru șurub cu mișcare de rotație și piuliță de translație este definit similar ca la transmisiile cu alunecare între spire:

$$\eta_{SB} = \frac{1 - f \cdot \operatorname{tg} \alpha_0}{1 + \frac{f}{\operatorname{tg} \alpha_0}} \times 100 \quad [\%] \quad (4.22)$$

2) **Momentul de acționare aplicat șurubului cu bile** având mișcare de rotație convertit în deplasarea liniară a piuliței este determinat funcție de încărcarea axială a șurubului și viteza de avans a piuliței:

$$T_{SB-L} = \frac{F \cdot v_a}{2 \cdot \pi \cdot \eta_{SB}} \quad [\text{N mm}] \quad (4.23)$$

unde: v_a – viteza de avans a piuliței se poate calcula cu relația:

$$v_a = \frac{v_x}{n_{SB}} = p \quad [\text{mm/rot}] \quad (4.24)$$

3) **Raportul de transfer** între șurub și piuliță:

$$i_{STSPB} = \frac{v_{SB}}{v_P} = \frac{\pi \cdot d_0}{p} \quad (4.25)$$

4) **Forța de prestrângere (pretensionare) a piuliței** F_{pr} se stabilește funcție de forța axială de lucru:

$$F_{pr} = (0,25 \dots 0,33) \times F \quad [\text{N}] \quad (4.26)$$

și determină un moment de frecare între șurub și piuliță:

$$T_{f_STSPB} = c_{pr} \cdot F_{pr} \cdot p \quad [\text{N mm}] \quad (4.27)$$

în care: c_{pr} – coeficient de pretensionare a piuliței care ia valori între **0,16 ... 0,32**.

5) **Durabilitatea cuplei elicoidale** stabilită prin calcul în funcție de turația de funcționare a elementului conducător (șurubul) și durata de lucru a transmisiei:

$$L_r = \frac{60 \cdot n_{SB} \cdot D_h}{10^6} \quad [\text{milioane rotații}] \quad (4.28)$$

6) **Capacitatea dinamică de bază** determinată similar ca la rulmenții cu contact punctual bilă-căi de rulare:

$$C = P_e \cdot L_r^{1/3} \quad [\text{N}] \quad (4.29)$$

cu: P_e – sarcina dinamică echivalentă dată de:

$$P_e = \frac{f_d}{f_H} \cdot F \quad [\text{N}] \quad (4.30)$$

în care: coeficienții dinamic f_d și de duritate f_H se aleg din tabelul 4.2, respectiv nomogramele din figura 4.5.

Tabelul 4.2 Coeficientul dinamic f_d

Regimul de funcționare	f_d
Turație mică, sarcină fără șocuri	1 ... 1,2
Condiții normale	1,2 ... 1,5
Turații obișnuite, sarcină cu șocuri	1,5 ... 2,5

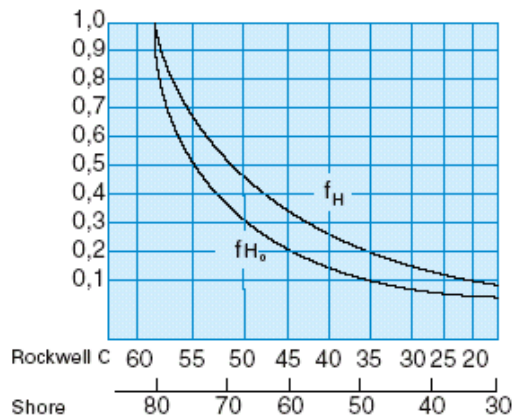


Fig. 4.5 Variația coeficientului f_H cu duritatea suprafețelor

4.5. Sistemul de recirculare a bilelor

Închiderea circuitului bilelor (readucerea acestora în zona activă de contact cu căile de rulare prevăzute pe suprafețele șurubului și piuliței) se va realiza cu un *sistem de recirculare externă* printr-un canal de trecere deschis practicat în peretele piulițelor (figura 4.6). Această construcție necesită realizarea diametrului exterior al piuliței mai mare decât în cazul sistemului cu recirculare internă a bilelor folosind un deflector.

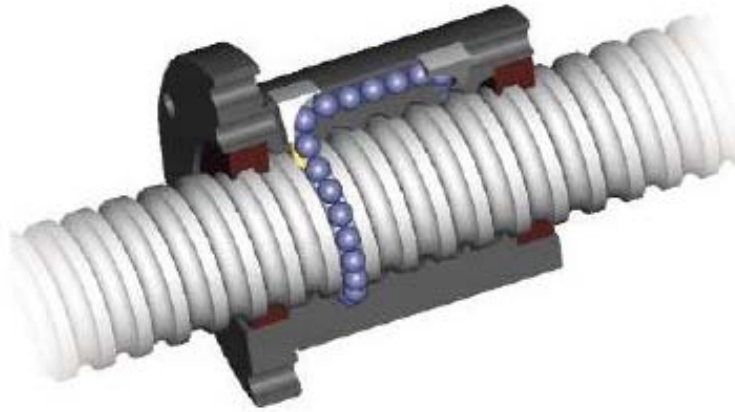


Fig. 4.6 Realizarea recirculării bilelor la transmisiile șurub-piuliță

Numărul de circuite active într-o piuliță variază uzual între 2 ...6, un circuit fiind definit ca traiectoria închisă descrisă de bilele care se rotesc în jurul arborelui filetat. Un exemplu de șurub cu bile cu trei circuite în piulița cu recirculare externă este arătat în figura 4.7.

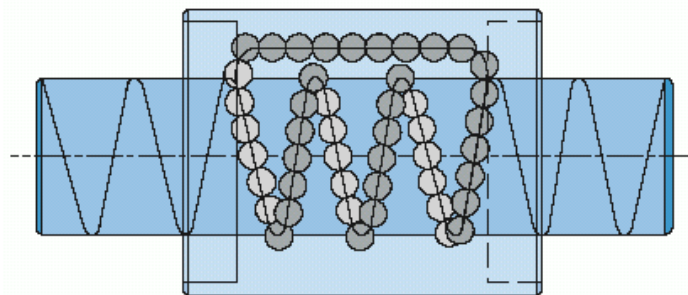


Fig. 4.7 Șurub cu bile având trei circuite de recirculare

4.6. Construcția și montarea piuliței cu bile. Pretensionarea

Pentru realizarea sistemului de transmitere șurub-piuliță cu elemente de rostogolire se utilizează două *variante constructive*:

- **cu o singură piuliță** (figura 4.8 a) pentru creșterea randamentului la transmiterea mișcării;
- **cu două piulițe pretensionate** (figura 4.8 b) pentru transmiterea unor mișcări de mare precizie și rigiditate sporită în special pentru poziționări precise.

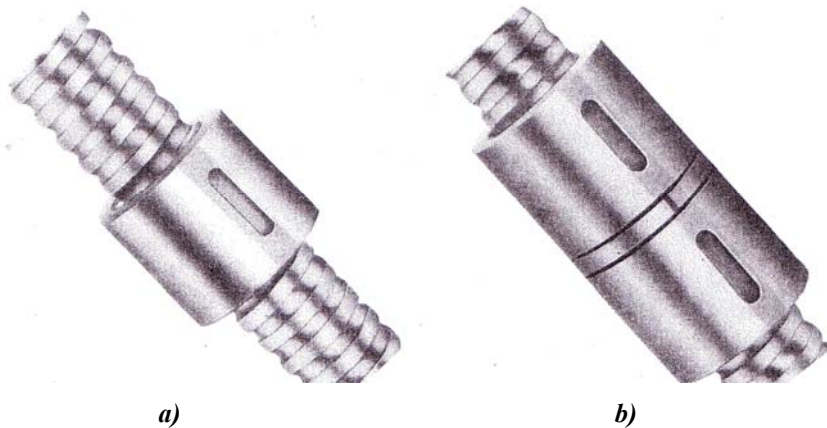


Fig. 4.8 Variante constructive de șuruburi cu bile:
a) cu o piuliță, b) cu două piulițe

Caracteristicile constructive ale șuruburilor cu bile pentru cele două variante de utilizare a piulițelor sunt reprezentate în figura 4.9 a și b, iar dimensiunile standardizate corespunzătoare notațiilor din figură sunt indicate în tabelele 4.3 (pentru piuliță), respectiv 4.4 (pentru șurub).

Uzual, **sistemele de montaj a piulițelor** realizează fixarea direct în carcasă a elementului mobil, fără carcase intermediare fixate prin șuruburi, pene sau știfturi care micșorează rigiditatea ansamblului. În raport cu spațiul disponibil de montaj și sistemul de piulițe adoptat sunt posibile schemele de montaj din figura 4.10.

Pentru montajele cu piuliță cu pană longitudinală sau transversală, utilizatorul va folosi datele constructive pentru montajul ștergătoarelor de protecție împotriva pătrunderii prafului sau a impurităților în zona de rulare a bilelor (tabelele 4.3 și 4.4).

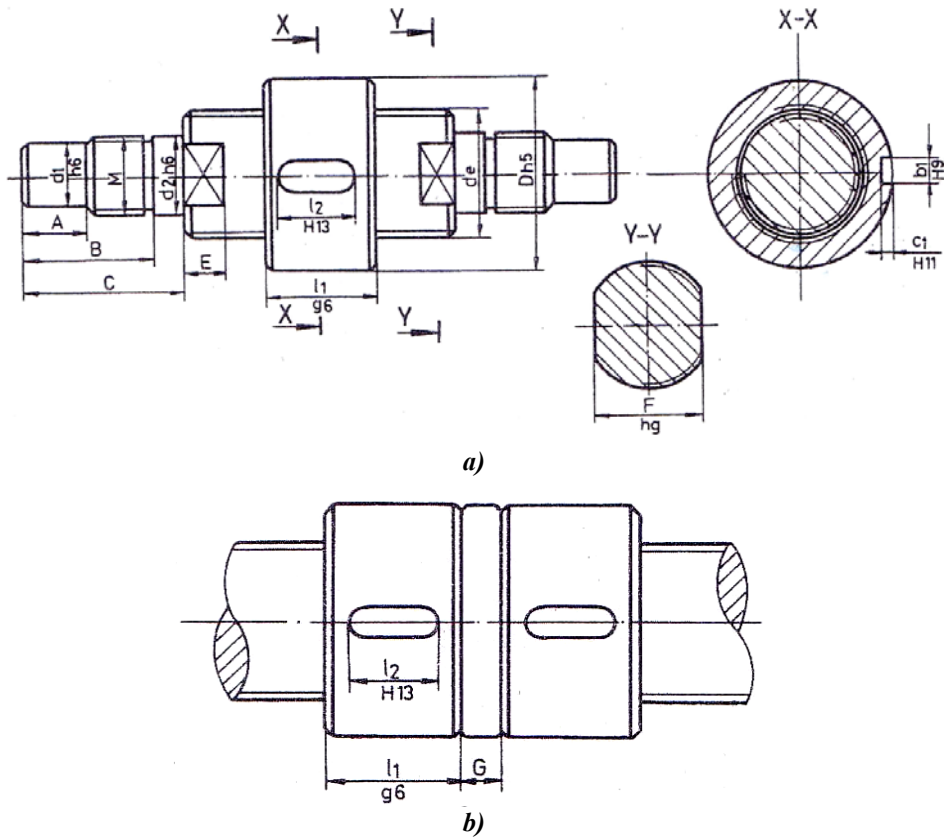


Fig. 4.9 Dimensiuni pentru șuruburi cu bile: a) cu o piuliță, b) cu două piulițe

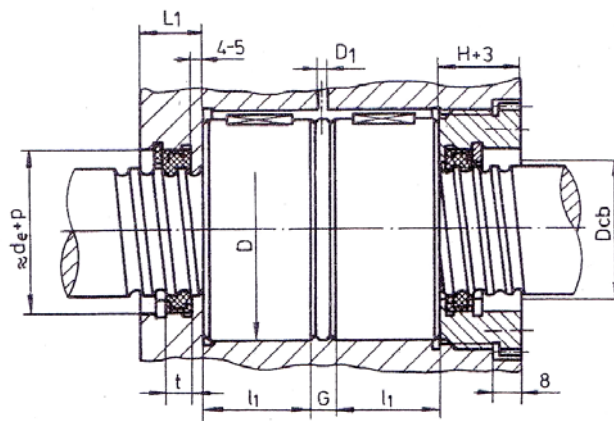


Fig. 4.10 Montarea piulițelor pe șurub cu bile

Proiectarea sistemului de transmitere șurub-piuliță cu bile

Tabelul 4.3 Dimensiuni ale piuliței cu bile

Diametrul $D_{cb} (d_0)$	Pasul p	Diametrul D	2 circuite		3 circuite		4 circuite		5 circuite		6 circuite	
			l_1	G	l_1	G	l_1	G	l_1	G	l_1	G
32	5	50	–	3	–	–	36	4,8	–	–	–	–
	10	50	45,5	4	55	8,34	66,5	4,5	77	6	92,5	7,85
40	5	60	–	3	–	–	36	4,8	–	–	–	–
	10	60	45,5	4	55	8,34	66,5	4,5	77	6	92,5	7,85
50	10	70	45,5	4	55	8,34	66,5	4,5	77	6	92,5	7,85
63	10	85	45,5	4	55	8,34	66,5	4,5	77	6	92,5	7,85
	12	90	50	4	65,5	10	80	9	95	6	111	–
	16	95	67,5	8	87,5	7,5	105	8	124	8,8	145,3	14,7
80	10	105	45,5	4	55	8,34	66,5	4,5	77	6	92,5	7,85
	12	108	50	4	65,5	10	80	9	95	6	111	–
	16	115	67,5	8	87,5	7,5	105	8	124	8,8	145,3	14,7
	20	125	85	10	110	10	123	7	154	5	175	–
100	10	126	45,5	4	55	8,34	66,5	4,5	77	6	92,5	7,85
	12	130	50	4	65,5	10	80	9	95	6	111	–
	16	135	67,5	8	87,5	7,5	105	8	124	8,8	145,3	14,7
	20	140	85	10	110	10	123	7	154	5	175	–
	24	142	100	12	132	12	160	12	165	9	215	–
	32	152	135	10	172,5	16	210	16	250	16	285	–

Datorită abaterilor de execuție și de montaj, în cuplele elicoidale cu rostogolire apar *jocuri axiale și radiale*, determinate de uzarea elementelor constructive componente, care în timpul exploatării se măresc și pot determina scăderea preciziei și funcționarea necorespunzătoare a transmisiei șurub-piuliță cu bile. Din acest motiv, **STSPB** sunt în mod normal pretensionate în scopul eliminării jocului axial, creșterii rigidității globale a sistemului bilă-piuliță și pentru îmbunătățirea preciziei de poziționare. **Pretensionarea** trebuie făcută cu grijă, deoarece dacă este prea mare poate duce la o creștere a momentului condus al sistemului, care ar însemna o reducere a durabilității în funcționare și o creștere a temperaturii.

Pentru sistemul de transmitere prin cupla elicoidală cu rostogolire se va adopta varianta de pretensionare a celor două piulițe prin utilizarea unui inel distanțier, reprezentată în figura 4.11.

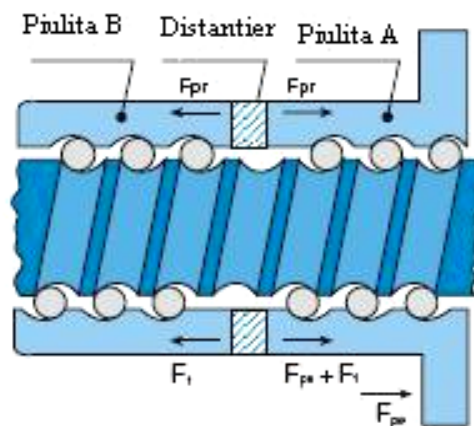


Fig. 4.11 Realizarea pretensionării piulițelor

Tabelul 4.4 Dimensiuni ale șurubului cu bile

Diametrul $D_{cb} (d_0)$	Pasul p	A	B	C	E	F	d_1	Filet M	d_2	b_1	c_1
32	5	35	-	-	-	-	25	-	-	6	2,5
	10	35	-	-	-	-	25	-	-	6	4
40	5	40	-	-	-	-	30	-	-	6	2,5
	10	40	-	-	-	-	30	-	-	8	3,5
50	10	40	-	-	-	-	30	-	-	10	3,5
63	10	40	-	-	-	-	30	-	-	10	3,5
	12	50	-	-	-	-	40	-	-	12	4,2
	16	50	-	-	-	-	40	-	-	10	3,5
80	10	35	65	75	20	65	42	45 x 2	45	14	5,2
	12	35	65	75	20	65	42	45 x 2	45	14	5,2
	16	35	65	75	20	65	42	45 x 2	45	14	5,2
	20	35	65	75	20	65	42	45 x 2	45	14	5,2
100	10	40	65	80	20	85	62	64 x 2	70	16	6,2
	12	40	65	80	20	85	62	64 x 2	70	16	6,2
	16	40	65	80	20	85	62	64 x 2	70	16	6,2
	20	40	65	80	20	85	62	64 x 2	70	16	6,2
	24	40	65	80	20	85	62	64 x 2	70	16	6,2
32	40	65	80	20	85	62	64 x 2	70	16	6,2	

Pretensionarea asigură doar anularea jocurilor axiale, valoarea forței de preîncărcare a piulițelor determinată cu relația (4.26) fiind mică față de sarcinile exterioare; practic pentru calculul piuliței se ia în considerare sarcina exterioară F , fiecare piuliță preluând sarcina unuia din sensurile de încărcare.

Construcția piulițelor se poate realiza în două variante: cu sau fără flanșă, ca în figura 4.12 a, respectiv b.

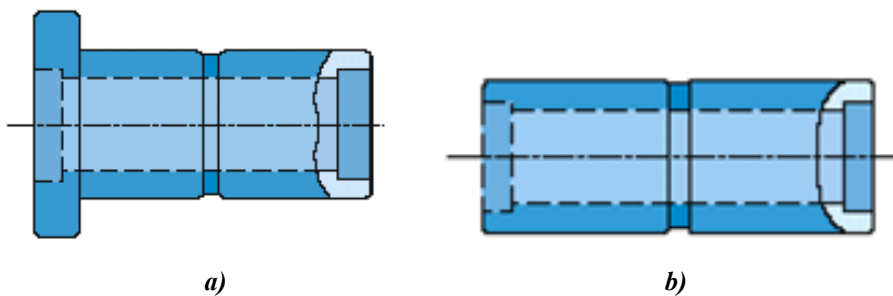


Fig. 4.12 Tipuri constructive de piulițe cu bile:
a) cu flanșă, b) fără flanșă

4.7. Calculul rezemării șurubului cu bile

Subansamblul de transmitere și transformare a mișcării de rotație a șurubului cu bile, cu două piulițe pretensionate, în mișcare de translație a piesei este reprezentat în figura 4.13, în care:

- 1 – șurub cu bile,
- 2 – rulment radial-axial cu bile pe două rânduri,
- 3 – distanțier,
- 4 – roată de curea dințată,
- 5 – sistem de etanșare,
- 6 – piulițe,
- 7 – inel reglare (pretensionare piulițe du bile),
- 8 – suport (carcasă) piulițe,
- 9 – rulment radial cu bile pe un rând,
- 10 – glisieră,
- 11 – ghidaj cilindric,
- 12 – carcasă,
- 13 – piesă.

Calculul rezemării sistemului de transmitere șurub-piuliță cu bile urmărește stabilirea diametrelor fiecărui tronson din construcția șurubului cu bile din condiții de rezistență în funcționare, pe baza diagramelor de momente de încovoiere echivalente, similar ca la arbori.

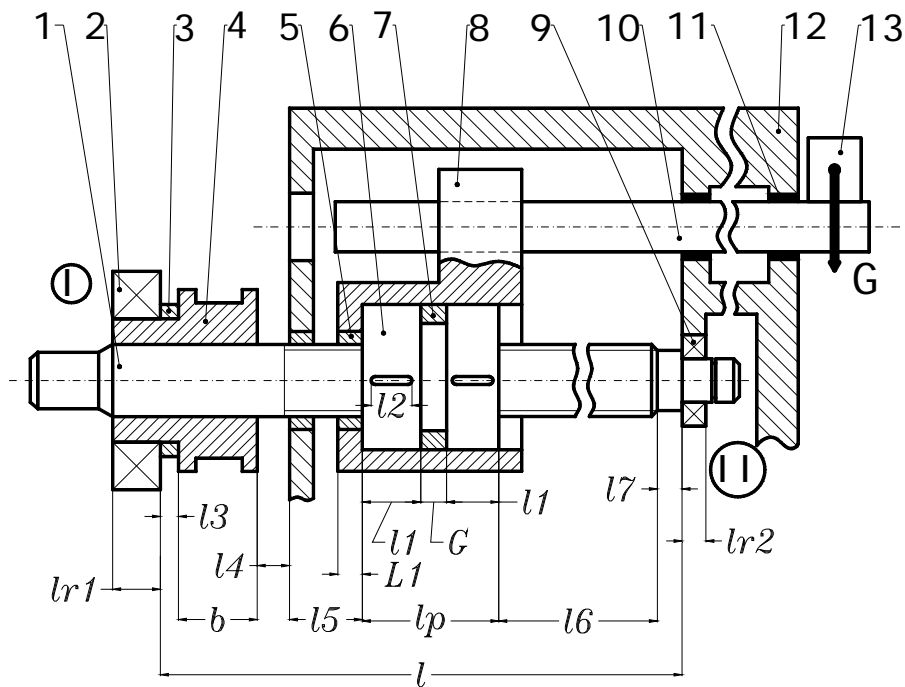


Fig. 4.13 Schema de calcul pentru elementele geometrice

Se parcurg următoarele etape:

- 1) stabilirea lungimilor pentru tronsoanele șurubului cu bile,
- 2) realizarea schemei de încărcare,
- 3) determinarea reacțiunilor în reazeme,
- 4) trasarea diagramelor de momente care solicită șurubul,
- 5) alegerea formei constructive.

care se vor rezolva succesiv.

1) Stabilirea lungimilor pentru tronsoanele șurubului cu bile

Cu notațiile din figura 4.13 și valorile din tabelul 4.2 referitoare la dimensiunile piuliței cu bile se obțin lungimile stabilite cu relațiile:

- Pentru piulițe:

$$l_1 = H_P \quad [\text{mm}] \quad (4.31)$$

este lungimea unei piulițe (calculată anterior);

D – diametrul exterior [mm];

G – grosimea inelului distanțier [mm];

l_2 – lungimea canalului de pană;

b_1, c_1 – lățimea și adâncimea canalului de pană.

- Pentru șurubul cu bile:

$$l = K \cdot d \quad (4.32)$$

este lungimea totală, având valoarea coeficientului K indicat ca dată inițială la proiectarea STSPB (§ 4.2.) și diametrul șurubului d adoptat după calculul de rezistență la flambaj cu relația (4.9).

Lungimea totală până la lagăre rezultă ca sumă a tronsoanelor:

$$l = l_3 + b + l_4 + l_5 + l_p + l_6 + l_7 \quad (4.33)$$

din care:

$l_3 = 5...10$ mm (se adoptă constructiv);

b – lățimea roții de curea dințată;

$$l_p = 2 \cdot l_1 + G \quad (4.34)$$

$l_6 = l_c + (10...20)$ mm

Cu aceste valori rezultă suma celor trei tronsoane care nu sunt funcționale $l_4 + l_5 + l_7$ și se vor stabili constructiv, adoptând valori convenabile pentru închiderea lanțului de dimensiuni a șurubului cu bile.

Observații:

Toate dimensiunile rezultă în mm.

Este posibil ca din calcul suma celor trei cote să rezulte prea mică sau negativă, ceea ce conduce la imposibilitatea adoptării unor lungimi adecvate pentru fiecare dintre tronsoanele de lungimi l_4, l_5, l_7 . În acest caz se va adopta o altă valoare pentru raportul lungime/diametru K față de cea indicată inițial, cu reluarea calculului diametrului din condiția de flambaj și stabilirea noilor valori pentru fiecare tronson al șurubului.

- Pentru lagărele cu rulmenți:

$$l_{r1} = d_p \quad (4.35)$$

$$l_{r2} = 0,7 \cdot d_p \quad (4.36)$$

în care: d_p reprezintă diametrul preliminar al axului filetat rezultat din condiția de rezistență la torsiune cu relația:

$$d_p = \sqrt[3]{\frac{16 \cdot T_{SB_L}}{\pi \cdot \tau_{at}}} \quad [\text{mm}] \quad (4.37)$$

Momentul de transmis de șurub în cupla filetată cu rostogolire T_{SB_L} este cel calculat cu relația (4.23), iar tensiunea admisibilă de torsiune se alege în funcție de materialul șurubului cu bile (la oțeluri $\tau_{at} = 12 \dots 35$ MPa).

2) Schema de încărcare

Se consideră două scheme de încărcare pentru ansamblul șurub-piuliță cu bile, când greutatea totală este preluată la cele două capete ale cursei de lucru (piulițele aflate complet în stânga, respectiv dreapta), cu reprezentarea din figura 4.14. Solicitarea exterioară este dată de forța de întindere inițială a curelei dințate și greutatea ansamblului considerată ca:

$$G_A = 1,1 \cdot G_p \quad [\text{N}] \quad (4.38)$$

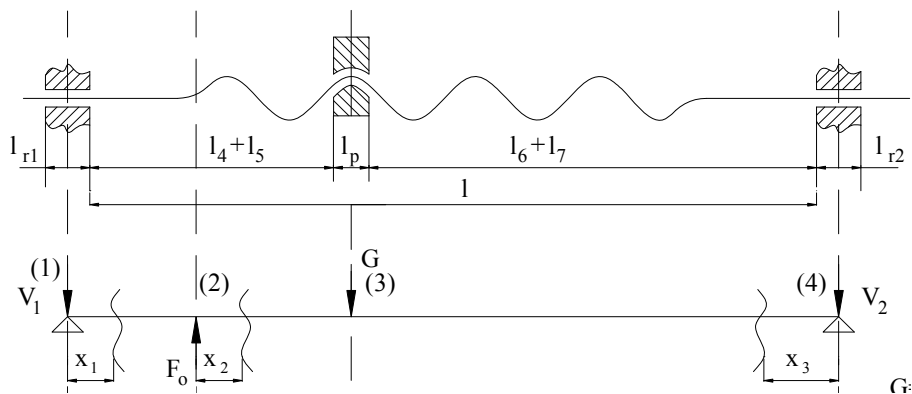


Fig. 4.14 Schema de încărcare pentru subansamblul șurub-piuliță cu bile

3) *Determinarea reacțiunilor în reazeme*

Din condițiile de echilibru de forțe tăietoare și momente de încovoiere rezultă cele două reacțiuni V_1 și V_2 din reazemele I, II .

$$\sum F = 0 \quad \Rightarrow \quad -V_1 + F_0 - G_A - V_2 = 0 \quad (4.39)$$

$$\sum M_{i(2)} = 0 \quad \Rightarrow \quad -V_1 \cdot (A + B + C) + F_0 \cdot (B + C) - G_A \cdot C = 0 \quad (4.40)$$

cotele A, B și C rezultând pe baza notațiilor din desen.

4) *Trasarea diagramelor de momente*

Pentru fiecare din cele două poziții ale piulițelor, se trasează diagramele de:

- *momente de încovoiere* M_i , pe baza ecuațiilor scrise în toate secțiunile transversale x de-a lungul șurubului;
- *momente de torsiune* T_{SB} (momentul transmis de cupla elicoidală) considerat constant pe tronsonul între roata de curea și piulițe;
- *momentul de încovoiere echivalent* M_{iechj} pe fiecare tronson al șurubului cu bile calculat cu relația:

$$M_{iechj} = \sqrt{M_{ij}^2 + \alpha \cdot T_{SB}^2} \quad [\text{N mm}] \quad (4.41)$$

în care: α – coeficient care depinde de modurile de variație ale sollicitărilor de încovoiere și torsiune, fiind dat de raportul:

$$\alpha = \frac{\sigma_{aiIII}}{\sigma_{aiI}} \quad (4.42)$$

cu valorile tensiunilor admisibile din catalogul de materiale.

5) *Alegerea formei constructive*

Construcția șurubului cu bile va respecta reprezentarea schematică din figura 4.13.

6) Determinarea diametrelor tronsoanelor

Fiecare tronson j din construcția șurubului cu bile are diametrul calculat pe baza diagramelor trasate anterior în cazul cel mai defavorabil (solicitare maximă) cu relația:

$$d_j = \sqrt[3]{\frac{32 \cdot M_{iech \max j}}{\pi \cdot \sigma_{aiIII}}} \quad [\text{mm}] \quad (4.43)$$

în care: σ_{aiIII} – tensiunea admisibilă de încovoiere pentru ciclul de solicitare alternant simetric se alege din cataloagele de materiale.

Dimensiunile calculate pentru diametrele specifice construcției șurubului cu bile se rotunjesc la valori superioare standardizate.

4.8. Alegerea rulmenților pentru susținerea șurubului cu bile

Lagărele utilizate pentru rezemarea șurubului transmisiei elicoidale cu rostogolire au funcția de a asigura, simultan, poziția pe direcție radială și de a prelua forța pe direcție axială, cu menținerea deformației și deplasării șurubului în limite admisibile.

Cerințele principale ale lagărelor transmisiei șurub-piuliță cu bile sunt: capacitate de încărcare axială ridicată, rigiditate mare, joc axial redus, frecare mică în rulmenți, turații ridicate, comportare bună la vibrații.

Aceste criterii individuale au importanță diferită în funcție de aplicația în care se utilizează transmisia șurub-piuliță cu elemente de rostogolire (ex.: rigiditatea lagărelor are rol principal la mașinile în care se dezvoltă forțe mari; frecarea la lagărele pretensionate constituie criteriul principal pentru mașinile cu încărcare redusă și care funcționează la turații ridicate).

În cele mai multe aplicații, lagărele șurubului cu bile sunt realizate cu **rulmenți**, iar rezemarea se efectuează pe două lagăre cu una din **schemele de lăgăruire** diferite în funcție de încărcare:

- **lagăr conducător – lagăr liber**: preluarea forțelor axiale se face de către un lagăr, în ambele sensuri, fiind recomandată pentru sarcini mici;

- *lăgăruirea cu reglarea jocului axial*: preluarea forțelor axiale se face de către fiecare lagăr în câte un sens (montaje în "X" sau în "O").

În proiectarea lagărelor pentru alegerea rulmenților se parcurg mai multe *etape*.

1) Stabilirea tipului de rulment

La rezemarea șurubului transmisiei elicoidale cu rostogolire se folosesc următoarele **tipuri constructive de rulmenți**:

- radial-axiali cu bile pe două rânduri pentru lagărul conducător;
- radiali cu bile pentru lagărul liber, ca în figura 4.15.

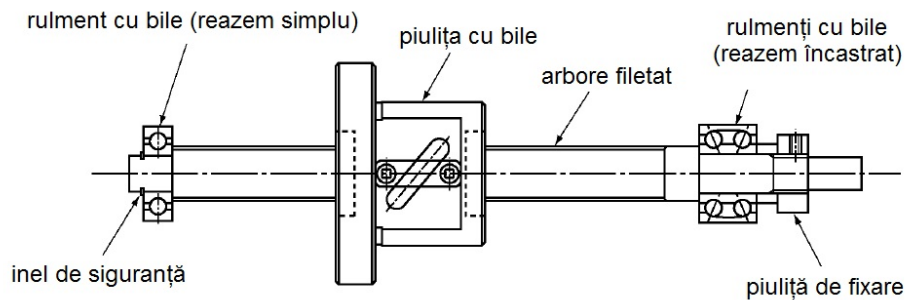


Fig. 4.15 Șurub cu bile simplu rezemat-încăstrat

Construcția unui *rulment radial-axial cu bile* și modalitățile de montare pe arbore, respectiv în carcasă sunt prezentate în figura 4.16.

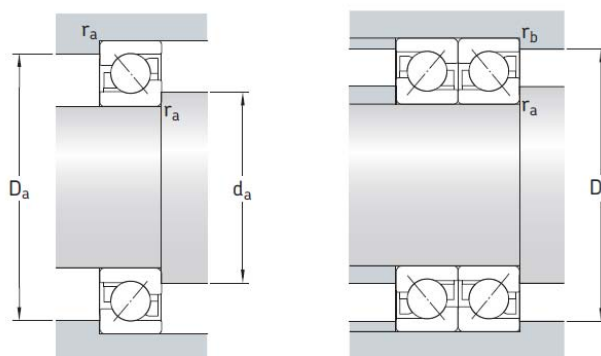


Fig. 4.16 Rulment radial-axial cu bile:
a) lagăr cu un singur rulment, b) lagăr cu doi rulmenți

În figura 4.17 sunt prezentate trei variante clasice de montare a rulmenților radial-axial cu bile care formează unul dintre lagărele de susținere.

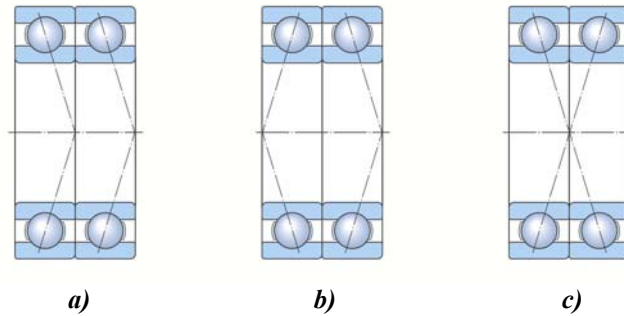


Fig. 4.17 Soluții de așezare a rulmenților radial-axial cu bile:
a) montaj în tandem, b) montaj în O, c) montaj în X

Pentru sarcini axiale mari de încărcare pentru fiecare lagăr de susținere a șuruburilor cu bile se utilizează mai mulți rulmenți obținând aranjamente din figura 4.18.

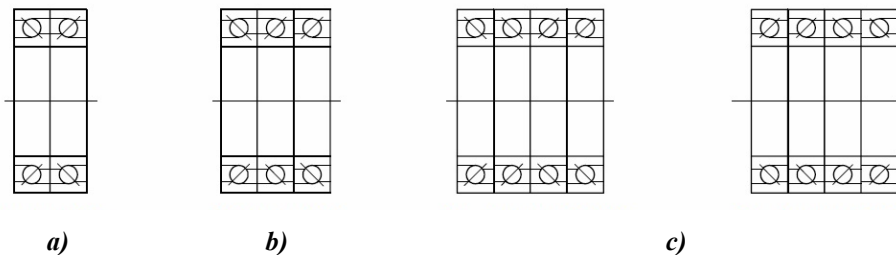


Fig. 4.18 Tipuri de aranjamente ale rulmenților la șuruburi cu bile.
a) duplex, b) triplex, c) cvadruplex

Pentru rulmenții radial-axiali cu două rânduri de bile există formele constructive standardizate reprezentate în figura 4.19, iar modul de fixare pe arbore și în carcasă este indicat în figura 4.20.

Rulmenții radial-axiali cu bile pe două rânduri sunt, constructiv, mult mai înguști decât o pereche de rulmenți radial-axiali cu bile pe un singur rând.

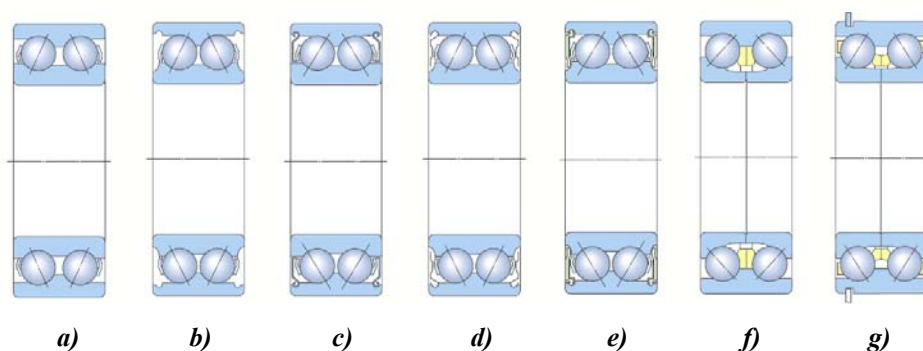


Fig. 4.19 Tipuri constructive de rulmenți cu bile pe două rânduri:

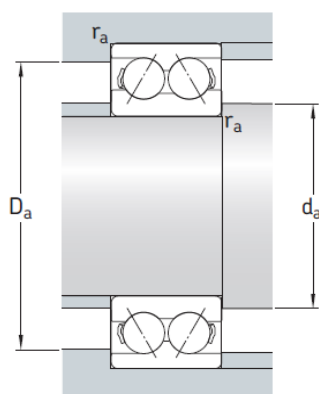


Fig. 4.20 Fixarea rulmentului radial-axial cu bile pe două rânduri

Geometria și dimensiunile celor două categorii de rulmenți utilizați pentru susținerea șuruburilor cu bile sunt indicate în cataloagele firmelor producătoare (figura și tabelele din ANEXA 7).

2) Alegerea schemei de rezemare (lăgăruire)

Tipurile specifice de rezemare a șuruburilor cu bile sunt reprezentate în figura 4.21.

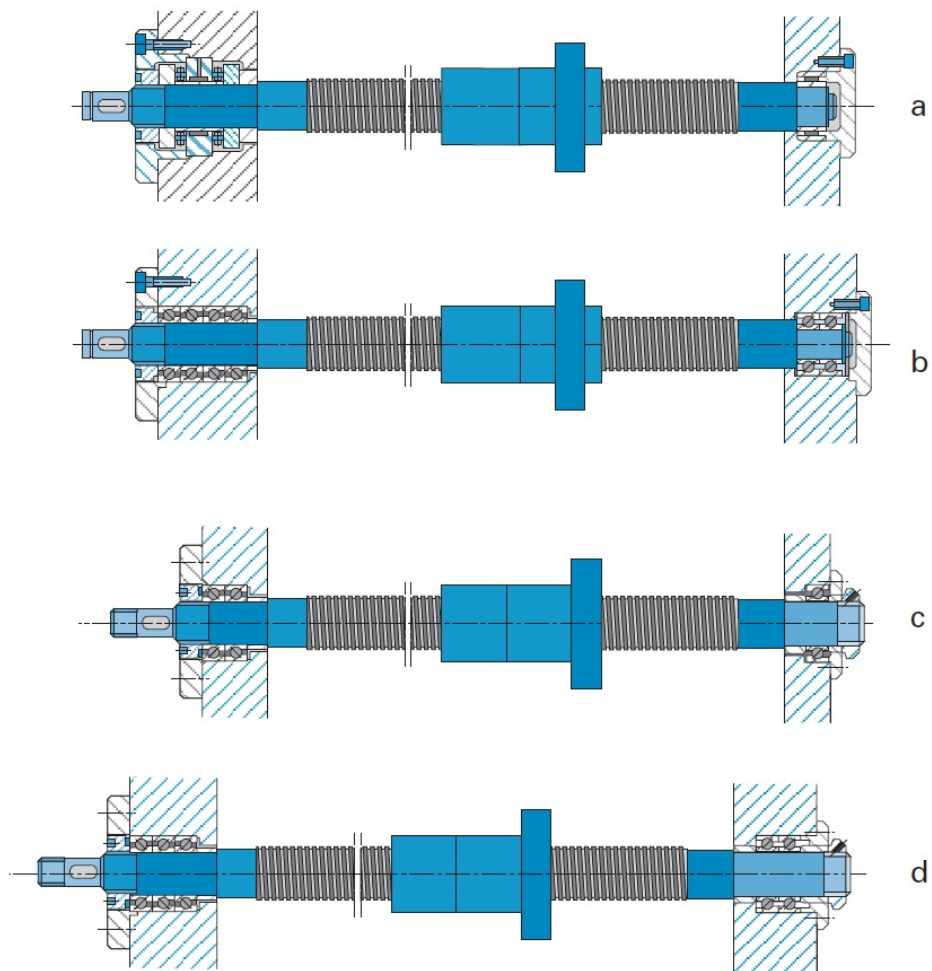


Fig. 4.21 Tipuri de rezemare pentru șuruburile cu bile :

3) Determinarea mărimii rulmenților

Alegerea dimensiunilor pentru rulmenții din reazemele I și II se face, separat, în funcție de diametrul inelului interior (diametrul d_j al tronsonului de montaj pe șurubul cu bile – determinat anterior) și capacitatea dinamică de bază definită de relația:

$$C_{1,2} = P_{e1,2} \cdot L_R^{1/3} \quad [\text{N}] \quad (4.44)$$

în care: P_e – sarcina dinamică echivalentă dată de relațiile de catalog:

$$P_{e1} = X \cdot F_{r1} + Y \cdot F_{a1} \quad [\text{N}] \quad (4.45)$$

respectiv:

$$P_{e2} = X \cdot F_{r2} \quad [\text{N}] \quad (4.46)$$

L_R – durabilitatea rulmenților calculată cu relația:

$$L_R = \frac{60 \cdot n_{SB} \cdot D_h}{10^6} \quad [\text{milioane rotații}] \quad (4.47)$$

Forțele radiale care încarcă lagărele sunt:

$$F_{r1,2} = V_{1,2} \quad [\text{N}] \quad (4.48)$$

iar forța axială preluată de lagărul I este:

$$F_{a1} = F \quad [\text{N}] \quad (4.49)$$

Din catalog se aleg rulmenții cu diametrul inelului interior stabilit la dimensionarea axului filetat (conform § 4.7) și capacitatea dinamică de bază $C \geq C_{1,2}$ (*ANEXA 7* tabelul A7.1 pentru rulmenți radial-axiali cu bile sau tabelul A7.2 pentru rulmentul cu bile pe două rânduri).

Valorile capacității dinamice de bază C din tabele sunt stabilite pentru lagăre cu un singur rulment.

Observații:

- Rulmentul I radial-axial cu bile pe două rânduri care formează lagărul liber I se alege pentru un diametru interior mai mare astfel încât să se monteze pe suprafața exterioară a butucului roții de curea dințată (ca în figura 4.13).

- Când capacitatea dinamică calculată cu relația (4.44) este mai mare decât valoarea C din catalog, se impune utilizarea unui număr mai mare de rulmenți identici dispuși după una din schemele din figura 4.18. Pentru acest caz capacitatea dinamică de bază se determină astfel:

– rulmenți montați spate-în-spate sau față-în-față: $C_{r_O_X} = 1,62 \cdot C$

– rulmenți montați în tandem: $C_{r_tandem} = 2 \cdot C$.

4) Calculul sarcinii dinamice echivalente

Determinarea prin calcul a sarcinii P_e se efectuează cu relația (4.45) având coeficienții X și Y stabiliți de catalog în funcție de tipul rulmentului utilizat și raportul dintre încărcarea axială și radială.

La **rulmenții radial-axiali cu bile**:

➤ seriile 72 B și 73 B ($\alpha = 40^0$), $e = 1,14$

– unul sau mai mulți rulmenți montați în tandem:

$$X = 1 \qquad Y = 0 \qquad \text{pentru } F_a / F_r \leq 1,14$$

$$X = 0,35 \qquad Y = 0,57 \qquad \text{pentru } F_a / F_r > 1,14$$

– doi rulmenți montați în O sau X:

$$X = 1 \qquad Y = 0,55 \qquad \text{pentru } F_a / F_r \leq 1,14$$

$$X = 0,57 \qquad Y = 0,93 \qquad \text{pentru } F_a / F_r > 1,14$$

➤ seriile 70 C și 72 C ($\alpha = 15^0$)

– unul sau mai mulți rulmenți montați în tandem:

$$X = 1 \qquad Y = 0 \qquad \text{pentru } F_a / F_r \leq e$$

$$X = 0,41 \qquad Y = \text{catalog} \qquad \text{pentru } F_a / F_r > e$$

– doi rulmenți montați în O sau X:

$$X = 1 \qquad Y = \text{catalog} \qquad \text{pentru } F_a / F_r \leq e$$

$$X = 0,72 \qquad Y = \text{catalog} \qquad \text{pentru } F_a / F_r > e$$

La **rulmenții radial-axiali cu bile pe două rânduri**:

➤ seriile 32 și 33 (unghiul de contact $\alpha = 32^0$):

$$X = 1 \qquad Y = 0,73 \qquad \text{pentru } F_a / F_r \leq 0,86$$

$$X = 0,62 \qquad Y = 1,17 \qquad \text{pentru } F_a / F_r > 0,86$$

➤ seria 32D (unghiul de contact $\alpha = 45^0$):

$$X = 1 \qquad Y = 0,47 \qquad \text{pentru } F_a / F_r \leq 1,33$$

$$X = 0,54 \qquad Y = 0,81 \qquad \text{pentru } F_a / F_r > 1,33$$

4.9. Construcția șurubului și piuliței cu bile

Construcții ale capetelor de arbore pentru șuruburi cu bile sunt prezentate în figura 4.22, iar dimensiunile corespunzătoare mărimii filetului indicate în tabelele 4.5, respectiv 4.6.

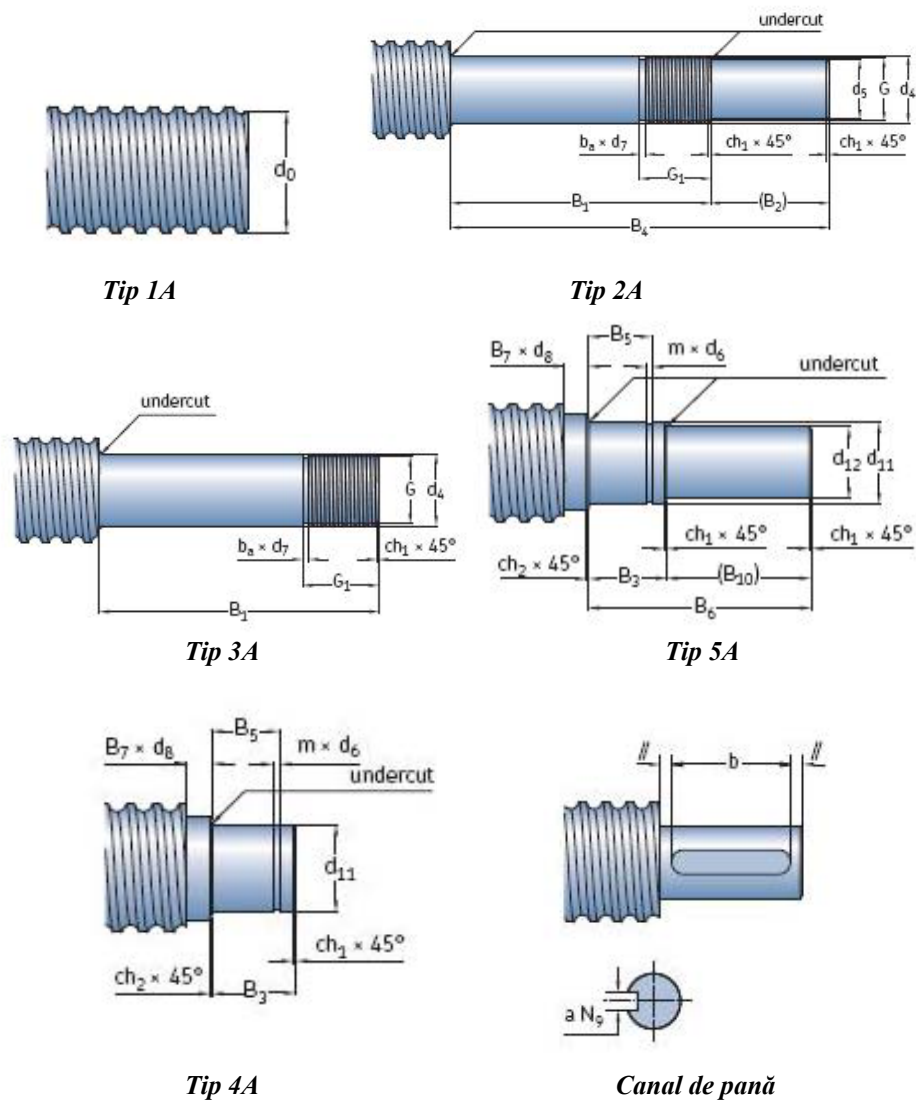


Fig. 4.22 Tipuri constructive ale capete la șuruburile cu bile:

Calculul și construcția sistemelor mecatronice – Îndrumar de proiectare

Tabelul 4.5 Dimensiuni capete de arbore pentru șuruburi cu bile

Mărime												
d_0	d_5 h7	d_4 h6	d_{11} h6	d_{12} h7	B_1 js12	B_2	B_3 js12	B_4 js12	B_5 H11	B_6 js12	B_7	d_8
mm												
16	8	10	10	8	53	16	13	69	10	29	2	12,5
20	10	12	10	8	58	17	13	75	10	29	2	14,5
25 ¹⁾	15	17	17	15	66	30	16	96	13	46	4,5	20
32 ¹⁾	17	20	17	15	69	30	16	99	13	46	4,5	21,7
40 ¹⁾	25	30	30	25	76	45	22	121	17,5	67	4,5	33,5
50 ¹⁾	30	35	30	25	84	55	22	139	17,5	67	4,5	35,2
63	40	50	45	40	114	65	28	179	20,75	93	3	54

Tabel 4.6 Dimensiuni capete de arbore pentru șuruburi cu bile

Mărime											Pană a ^{N9} x l x b	
d_0	G 6g	G_1	m +0,14 0	d_6 h11	h12	ch ₁	ch ₂	b_s	d_7 h11	capăt fix (tip 2A)	fixed end (tip 5A)	
mm												
16	M10x0,75	17	1,1	9,6		0,5	0,5	1,2	8,8	A2x2x12	A2x2x12	
20	M12x1	18	1,1	9,6		0,5	0,5	1,5	10,5	A3x3x12	A2x2x12	
25	M17x1	22	1,1	16,2		0,5	0,5	1,5	15,5	A5x5x25	A5x5x25	
32	M20x1	22	1,1	16,2		0,5	0,5	1,5	18,5	A5x5x25	A5x5x25	
40	M30x1,5	25	1,6		28,6	1	0,5	2,3	27,8	A8x7x40	A8x7x40	
50	M35x1,5	27	1,6		28,6	1	0,5	2,3	32,8	A8x7x45	A8x7x40	
63	M50x1,5	32	1,85		42,5	1,5	1	2,3	47,8	A12x8x50	A12x8x50	

Pentru asigurarea durabilității ridicate a șuruburilor cu bile, este esențială **protecția** acestora împotriva prafului și impurităților, precum și ai altor agenți corozivi.

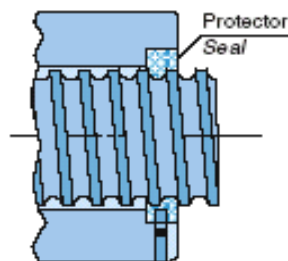


Fig. 4.23 Etanșare din PTFE

De aceea firmele producătoare livrează șuruburile cu bile cu etanșări din PTFE (politetrafluoretilenă) care se montează pe profilul filetelui și se atașează la capătul piuliței ca în figura 4.23.

Proiectarea sistemului de transmitere șurub-piuliță cu bile

Deoarece această etanșare nu oferă etanșeitate totală (de exemplu în atmosferă corozivă), în acele aplicații care necesită protecție completă este recomandată utilizarea acoperirii cu burdufuri sau telescopice.

Ungerea corectă a sistemului de transmitere șurub-piuliță cu bile este mai importantă decât etanșarea și poate fi realizată cu ulei sau unsoare. Lubrifierea previne ruginirea, protejează șurubul împotriva îmbătrânirii, limitează coeficientul de frecare și reduce uzura întregului sistem. **Uleiurile** utilizate pentru lubrifierea rulmenților sunt adecvați și pentru ungerea șuruburilor cu bile, vâscozitatea depinzând de turația de funcționare, sarcina aplicată, temperatura de lucru, etc. Figura 4.24 permite stabilirea vâscozității necesare pentru o turație medie specificată, în rot/min, și temperatura de funcționare.

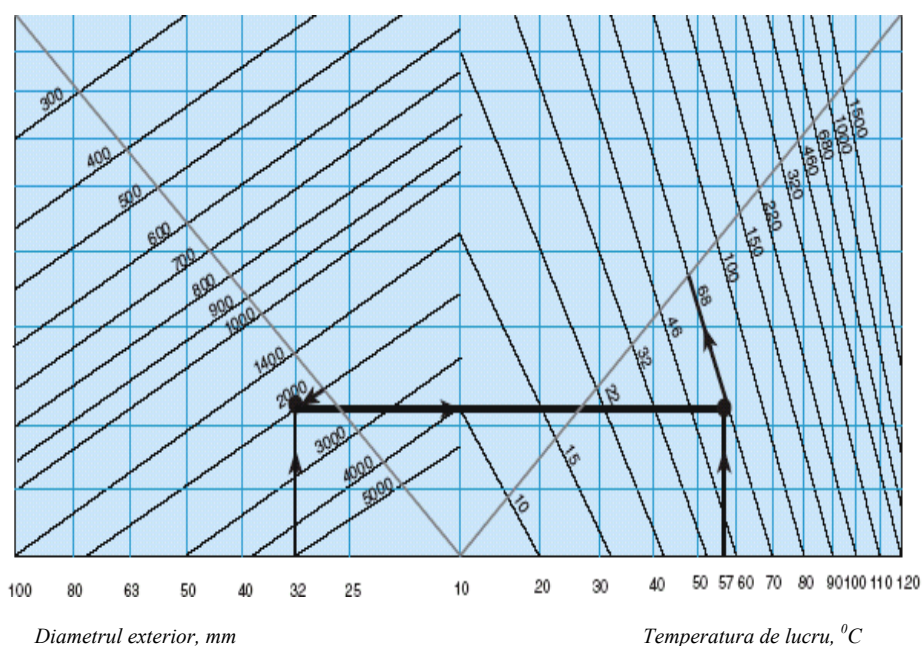


Fig. 4.24 Alegerea vâscozității uleiului

Avantajul ungerii cu *unsoare* față de cea cu ulei este că permite funcționarea șurubului cu bile între 500 și 1000 de ore fără lubrifiere, de aceea în multe aplicații nu este necesar sistem de ungere. Unsoarea nu trebuie să fie influențată de prezența apei sau umezelii și să fie rezistentă la particulele străine. De aceea se recomandă anumite consistențe

standard ale unsoarii utilizate pentru diverse condiții de funcționare (extremă la viteze ridicate, normale, viteze reduse și sarcini mari).

Întrucât excesul de unsoare poate conduce la creșterea temperaturii cauzate de presiunile ridicate pe căile de rulare ale șurubului cu bile, acesta trebuie evitat.

Montarea și demontarea piuliței sunt operații critice realizate în ansamblul șurub–piuliță cu bile. În timpul operației de montare a piuliței este necesară verificarea riguroasă a toleranțelor dimensionale conform cu condițiile de încercare, în caz contrar are loc scăderea durabilității șurubului cu bile.

Nu este permisă *desfacerea piuliței* de pe arborele filetat decât în cazuri absolut necesare urmând pașii sugerați de figura 4.25.

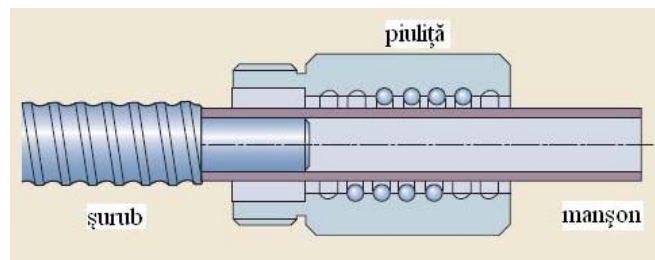


Fig. 4.25 Demontarea piuliței cu bile

Mai întâi se prelucrează un tub cu lungime dublă față de lungimea piuliței și cu diametrul exterior puțin mai mic (aproximativ 0,3 mm) decât diametrul mediu d_0 . Diametrul interior al tubului trebuie ajustat cu diametrul capătului de arbore (ca în figura 4.25). Apoi se rotește piulița pe șurubul cu bile până când piulița este complet pe tub. În final se scoate tubul de pe arborele filetat, fiind siguri că piulița și bilele rămân pe tub.

Asamblarea piuliței pe șurub se efectuează în ordinea inversă.

Materiale pentru realizarea șuruburilor cu bile

Șuruburile cu bile sunt prelucrate din oțeluri speciale de îmbunătățire. Uzual, porțiunea filetată a șurubului este tratată pentru o duritate adecvată a suprafeței, în timp ce capetele arborelui rămân la duritatea inițială a materialului de bază. Piulițele și bilele sunt de asemenea călite în totalitate. Principalele mărci de materiale pentru realizarea componentelor transmisiei șurub-piuliță sunt indicate în tabelul 4.7.

Proiectarea sistemului de transmitere șurub-piuliță cu bile

Tabelul 4.7 Materiale pentru preluarea șuruburilor cu bile

Element	Material	Tratament	Duritate
Șurub	OLC55	Călire prin inducție și revenire	58 64 HRC
	42CrMo4		
	OLC60		57 59 HRC
	X45CrMoV15		
Piuliță	17CrNiMo6	Cementare, călire și revenire	58 62 HRC
	X46Cr13		58 60 HRC
	X155CrVMo121	Călire și revenire în vid + nitrocarburare	68 70 HRC
Bile	100Cr6	Călire completă	60 66 HRC
	X105CrMo17		58 62 HRC
Sistem recirculare	CK45	Fără	-
	6CrNiMoTi17122		
	X46Cr13		
	PA6		

Construcția șuruburilor cu bile se realizează în cinci clase de precizie conform standardelor ISO (1, 3, 5 pentru șuruburi de înaltă precizie, 7 și 10 pentru precizie normală) și suplimentar două trepte 0 și 2 specificate în tabelul 4.8.

Tabelul 4.8 Trepte de precizie pentru șuruburi cu bile

Grade	0	1	2	3	4	5	6	7	10
ISO, DIN		6		12		23		52	210
JIS	3.5	5		8		18		50	210
HIWN	3.5	5	6	8	12	18	23	50	210

Abaterile de formă și poziție reciprocă pentru suprafețele șurubului cu bile sunt reprezentate în figura 4.26, iar valorile acestora sunt indicate în cataloagele firmelor producătoare (tabelele 4.9 – 4.13).

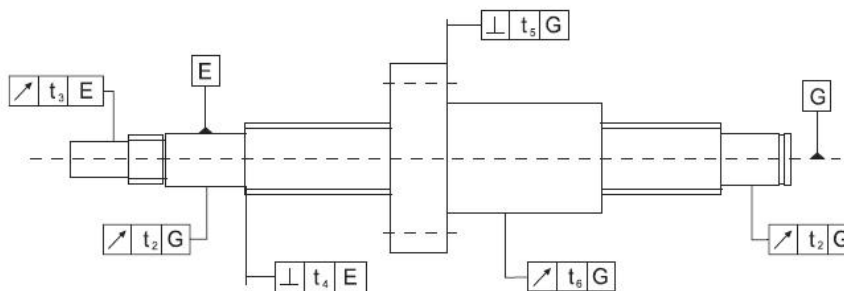


Fig. 4.26 Reprezentarea grafică a șurubului cu bile

Tabelul 4.9 Toleranța la bătaia radială t_2

Diam. nominal		Toleranța [μm]						
d_0 [mm]		Treapta de precizie						
Peste	la	0	1	2	3	5	7	10
16	20	5	7	9	10	13	16	19
20	32	6	8	10	11	14	17	20
32	50	7	9	12	13	16	19	22
50	80	8	10	13	14	18	20	24

Tabelul 4.10 Toleranța la bătaia radială t_3

Diam. nominal		Toleranța [μm]						
d_0 [mm]		Treapta de precizie						
Peste	la	0	1	2	3	5	7	10
16	20	4	6	8	9	12	15	18
20	32	5	7	9	10	13	16	19
32	50	6	8	11	12	15	18	21
50	80	7	9	12	13	17	20	23

Tabelul 4.11 Toleranța la perpendicularitate t_4

Diam. nominal		Toleranța [μm]						
d_0 [mm]		Treapta de precizie						
Peste	la	0	1	2	3	5	7	10
16	20	2	3	3	4	5	7	9
20	32	2	3	4	4	5	7	9
32	50	2	3	4	4	5	7	9
50	80	3	4	5	5	7	10	13

Tabelul 4.12 Toleranța la perpendicularitate t_5

Diam. nominal		Toleranța [μm]						
d_0 [mm]		Treapta de precizie						
Peste	la	0	1	2	3	5	7	10
16	20	7	8	9	10	12	15	18
20	32	7	8	9	10	12	15	18
32	50	8	9	10	10	13	16	19
50	80	9	10	11	12	15	18	21

Tabelul 4.13 Toleranța la bătaia radială t_6

Diam. nominal		Toleranța [μm]						
d_0 [mm]		Treapta de precizie						
Peste	la	0	1	2	3	5	7	10
16	20	5	6	7	8	10	13	16
20	32	5	6	7	8	10	13	16
32	50	6	7	8	8	11	14	17
50	80	7	8	9	10	13	16	19

Piulița cu bile de construcție standard (figura 4.27) are dimensiuni stabilite de firma producătoare, un exemplu fiind reprezentat în figura 4.28 și tabelul 4.14.



Fig. 4.27 Construcția standard a piuliței cu bile

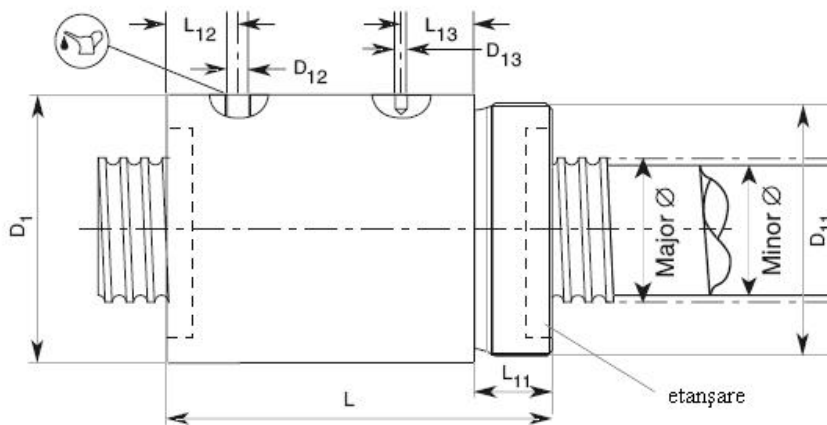


Fig. 4.28 Dimensiuni pentru piulița cu bile

Tabelul 4.14 Dimensiuni pentru piulițe simple

Nom. Diam.	Lead	Nut Type	Nut Dimensions [mm]												
			D ₁	D ₁₁	D ₁₂	D ₁₃	L	L ₁₁	L ₁₂	L ₁₃	Masa piuliței [kg/m]	Diam. bile [mm]			
d ₀	P _{ho}		h ₁₂												
12	4	ZG	25.5	M 20 x 1.0	3.2	-	34	10	12.0	-	0.1	0.22	1.984		
12	5	ZG	25.5	M 20 x 1.0	3.2	-	34	10	12.0	-	0.1	0.22	1.984		
16	5	ZG	32	M 30 x 1.5	M 6 x 1	4	57.5	16.5	10.5	22.0	0.22	0.49	3.500		
20	5	ZG	38	M 35 x 1.5	M 6 x 1	4	57.5	16.5	10.5	22.0	0.3	0.66	3.500		
25	5	ZG	42	M 40 x 1.5	M 6 x 1	4	63.5	17	10.5	23.0	0.37	0.82	3.500		
25	10	ZG	42	M 40 x 1.5	M 6 x 1	4	61	17	10.0	21.0	0.38	0.84	3.500		
32	5	ZG	52	M 48 x 1.5	M 6 x 1	5	65.5	19	10.5	23.0	0.55	1.21	3.500		
32	10	ZG	52	M 48 x 1.5	M 6 x 1	5	85	19	12.0	43.0	0.65	1.43	5.556		
40	5	ZG	58	M 56 x 1.5	M 8 x 1	5	67.5	19	12.0	22.5	0.6	1.32	3.500		
40	10	ZG	65	M 60 x 2.0	M 8 x 1	6	105.5	27	13.0	43.0	1.25	2.76	7.144		
50	10	ZG	78	M 72 x 2.0	M 8 x 1	6	118	29	13.0	53.0	1.95	4.30	7.144		
63	10	ZG	92	M 85 x 2.0	M 8 x 1	6	118	29	13.0	53.0	2.4	5.29	7.144		
80	10	ZG	120	M 110 x 2.0	M 8 x 1	8	126	34	15.5	53.0	4.9	10.8	7.144		